

3. Wechselwirkung von Teilchen und Materie

• geladene Teilchen ionisieren: das E-Feld einer bewegten Ladung übt Kraft auf gebundene Elektronen aus, überträgt Impuls. Integral über Impulsübertrag auf Elektronen in verschiedenen Abstand (transversal) zu Teilchen ergibt dessen Energieverlust.

schwere geladene Teilchen wie Protonen, Atomkerne, auch Myonen, $Mc^2 \gg mc^2$

wichtigster Energieverlust bis $T \leq$ einige hundert MeV

klassische Herleitung Bohr 1913; quantenmechanisch H. Bethe, Ann. d. Physik 5 (1930) 325 und F. Bloch, Ann. d. Physik 16 (1933) 285, siehe Skript

$$-\frac{dE}{dx} = \frac{n 4\pi z^2 e^4}{m_e c^2 \beta^2} \left(\ln \frac{2m_e c^2 \beta^2 \gamma^2}{I} - \beta^2 \right)$$

"Bethe-Bloch Formel"

Energie $-dE$ wird über Distanz dx abgegeben, wenn Teilchen mit Ladung ze und Geschwindigkeit β durch Medium mit Elektronendichte $n = \frac{\rho z N_A}{M}$ propagiert, $m_e c^2 = 0.511 \text{ MeV}$

Fokalisationsenergie des Mediums $I \approx (10Z \pm 1) \text{ eV}$ für $Z \geq 6$

dazu gibt es detailliertere Korrekturen, die aber grundsätzlichen Verlauf nicht ändern (chapter 32)
siehe Review of Particle Physics; Chin. Phys. 38 (2014) 090001

Energieabhängigkeit:

→ Fig. 3.11

- bei kleinem β Abfall von $dE/dx \propto \beta^{-2}$

- breites Minimum bei $\beta\gamma = \frac{pc}{m_0c^2} \approx 3-3.5$

- dann log. Anstieg, moderat

(Lorentzkontraktion des E-Feldes, korrigiert mit Polarisierung des Mediums $\hat{=}$ Dämpfung log. Anstieg)

Polarisation größer in Flüssigkeiten und Festkörpern als in Gasen, daher log. Anstieg kleiner in Flüssigkeiten und Festkörpern ($\approx 20\%$) als in Gasen ($\approx 50\%$)

→ Teilchen mit $\beta\gamma \approx 3$ "minimal ionisierend"

verliert $1.2-1.8 \text{ MeV/gcm}^2$ ← skala

NB: i. A. wird dE/dx durch Dichte geteilt, dann für sehr verschiedene Materialien sehr ähnlich (siehe Abb. dx ist dann keine Dicke in cm sondern Flächendichte in gcm^2)

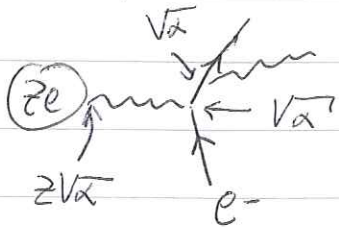
- bei sehr kleinen Energien ($v < v_{elektron}$) Abfall des Energieverlustes; Elektroneneinfang und schließlich keine Ionisation mehr, nur noch Ruckstoß

• Energieverlust von Elektronen

- Korrekter Bethe-Bloch wegen identische Teilchen und relativistische Rechnung. Bei gleichem β sind Energieverluste von Elektronen und Protonen durch Ionisation innerhalb 10% gleich

- für Elektronen hoher Energie überwiegt ein

anderer Prozess: im Medium wird Elektron in Coulombfeld eines Atomkerns, an dem es vorbeifliegt, beschleunigt und emittiert Bremsstrahlung
 QED Prozess (Fermi 1924, Weisäcker-Williams 1936)



$$-\frac{dE}{dx_{br}} = \frac{E}{X_0}$$

X_0 charakteristische Länge, über die Energie auf $1/e$ abfällt
 "Strahlungslänge"

$$X_0(C) = 18.8 \text{ cm} \quad X_0(Pb) = 0.56 \text{ cm}$$

Prozess dominant für Energien $\geq 580 \text{ MeV}/Z$

$$\text{Amplitude} \propto \text{Beschleunigung} \propto \frac{1}{m_0 c^2} \quad \sigma_{brems} \propto \frac{Z^2 \alpha^3}{(m_0 c^2)^2} \sim \frac{\alpha^3}{X_0}$$

• für Protonen hoher Energie dominiert starke WW über em WW, sobald es energetisch möglich ist, Pionen zu produzieren

(Pion: leichtestes Hadron $m_\pi c^2 \approx 140 \text{ MeV}$)

$$p + p \rightarrow p + p + \pi \quad \sqrt{s} \equiv E_{cm} \geq 2m_p c^2 + m_\pi c^2$$

für stationäres Target ab $T = 290 \text{ MeV}$ möglich

bei höheren Energien $p + p \rightarrow p + p + n\pi + \dots$

dominiert den inelastischen Wirkungsquerschnitt

(siehe oben) $\sigma_{inel} \approx 30 \text{ mb}$ bei $\sqrt{s} = 10 \text{ GeV}$

$$\approx 80 \text{ mb}$$

$$10 \text{ TeV}$$


das selbe passiert für alle anderen Teilchen, die stark wechselwirken (Hadronen)

Konsequenz: produzierte Pionen (etc.) wechselwirken mit anderen Nucleonen stark und produzieren

mehr Pionen \rightarrow Bildung eines "hadronischen Schauers" bestehend aus vielen Nucleonen, Pionen, ...
 räumliche Dimension charakterisiert durch char.

Weglänge, bevor starke WW passiert
 $\lambda_{int} = \frac{1}{\rho_A \cdot \sigma_{NA}}$ "unklare Wechselwirkungslänge"


$\rho + C \quad \rho_C = 2.3 \text{ g/cm}^3 \hat{=} 1.15 \cdot 10^{23} \text{ Atome/cm}^3$
 $\sigma_{NC}^{incl} \approx 230 \text{ mb}$ (vgl. $\sigma_{geo} = \pi(0.8 + 1.2 \cdot 10^{-13})^2 \text{ fm}^2 = 395 \text{ mb}$)
 $\rightarrow \lambda_{int} = 38 \text{ cm}$

Tiefe hadronischer Schauer $\approx 8-10 \lambda_{int}$  Fig. 3.2

Photonen: Lambert-Beersches Gesetz $I = I_0 \exp(-\mu x)$

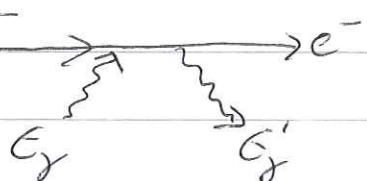
Aufzahl nach Schichtdicke x gegeben durch Absorptionskoeff μ [cm^{-1}]. Um von Aggregatzustand und Materialeffekten weniger abhängig zu sein:
 \rightarrow Massenabsorptionskoeff $\mu' = \mu/\rho$ [cm^2/g],
 dann beachte $X = \rho \cdot x$ [g/cm^2]

μ kommt durch Überlagerung von im Wesentlichen 3 Prozesszuständen

- Photoeffekt (Einstein 1905 entscheidende Messungen Philipp Lenard 1899)
 $\gamma + \text{Atom} \rightarrow \text{Atom}^+ + e^-$ wenn $E_\gamma > I_b$ Bindungsenergie des Elektrons; führt zu K, L, ... Absorptionskanten  Fig 3-3

da I_b stark Z -abhängig, starke Z -Abhängigkeit der Wahrscheinlichkeit für Photoeffekt

$\sigma_{ph} \propto Z^5 / E_\gamma^{7/2}$ dominant für 10 keV bis 1 MeV je nach Z

- Comptoneffekt (Compton 1922) 

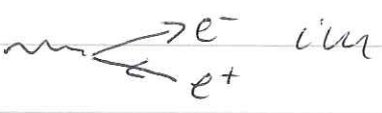
$$\frac{1}{E'} - \frac{1}{E} = \frac{1}{m_0 c^2} (1 - \cos \theta) \leq \frac{2}{m_0 c^2}$$

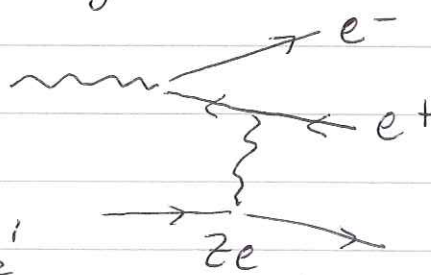
max. Energieverlust, wenn Photon nicht gestreut wird von Elektron (wird hier als quasifrei betrachtet)

Wirkungsquerschnitt aus QED-Berechnung (Klein-Nishina) \rightarrow 1929
 für $E_\gamma \gg m_e c^2$: $\sigma_c \approx \frac{\alpha^2 Z^2 (hc)^2}{E_{cm}^2}$ da Elektronendichte $\propto Z$

Photon-Elektron cm Energie $E_{cm} = \sqrt{(m_e c^2)^2 + 2E_\gamma m_e c^2}$
 dazu Korrekturen (zu σ_c) je nachdem ob $E_\gamma \ll m_e c^2$
 oder $E_\gamma > m_e c^2$ (siehe Skript)

dominant für 0.1-10 MeV (kleines Z) } \rightarrow Fig 3.3
 1-3 MeV (großes Z)

- Paarbildung (Bethe-Heitler)  im freien Raum nicht möglich, aber in Umgebung eines Atomkerns, der Rückstoß aufnimmt



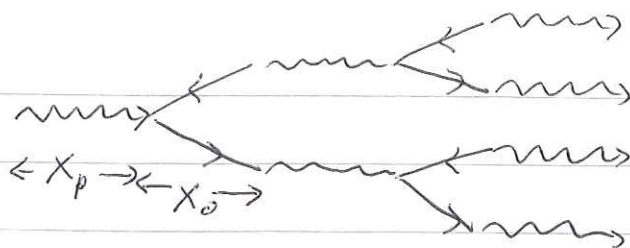
Energieschwelle: $E_\gamma \geq 2m_e c^2 + 2 \frac{(m_e c^2)^2}{m_k c^2} \geq 1.022 \text{ MeV}$ dominiert ab 10-100 MeV

Bemerkung: Feynman-Diagramm sehr ähnlich zu Bremsstrahlung, daher auch Wirkungsquerschnitt. Daher taucht auch hier die Strahlungslänge X_0 auf. Hoch typischerweise $9/7 X_0$ im Medium annihiliert Photon in e^+e^- -Paar,

\rightarrow Summe Fig. 3.3

Bei hoher Energie bildet sich sowohl aus Photon als auch aus Elektron ein sogenannter "elektromagnetischer Schauer": Photon $\rightarrow e^+e^-$ über Distanz $X_p \approx 9/7 X_0$, e^+ und e^- emittieren Bremsstrahlungsphotonen nach $\approx X_0$, die wiederum wieder Paar-

bildung, ---



Ausdehnung: $\approx 10 X_0$

stirbt aus wenn E_e unter kritische Energie fällt

⇒ Fig. 3.2

- jede hadronische Schauer enthält im Kern auch einen em. Schauer, da Pionproduktion π^\pm und π^0 produziert und $\pi^0 \rightarrow \gamma\gamma$ dominanter Zerfall em

4. Teilchendetektoren

Experimente in der Kern- und Teilchenphysik weisen gestreute oder produzierte Teilchen nach, bestimmen Impuls und Energie und Identität.

4.1 Impuls messung

Ablenkung geladener Teilchen im Magnetfeld durch Lorentzkraft. Für homogenes Magnetfeld kreisförmige Bahn mit Krümmungsradius g

wenn $\vec{p} \perp$ zu \vec{B} $g = p / q \cdot B$

sonst helikale Bahn mit $g = p_{\perp} / q \cdot B$

p_{\perp} : Komponente von \vec{p} senkrecht zu \vec{B}

mit p in GeV/c, g in m, B in T, q in 'e': $g = p_{\perp} / (0.3 \cdot q \cdot B)$

Konfiguration hängt von Beschleuniger und Winkelbereich, den Messung abdecken soll, ab.

- Vorwärtsspektrometer: Dipol, Messung der Spere davor und danach

⇒ Fig. 4.1

Anwendung: Strahl auf stationäres Target oder Vorwärtsspektrometer am Kollider (LHCb)

- Solenoid (oder Toroid)

Feld entlang Strahlachse, Ablenkung senkrecht dazu
Spurmessung innerhalb B-Feld \Rightarrow Fig. 4.2
(ATLAS, CMS, ALICE)

Spur wird "sichtbar" gemacht, indem man zuweilen Fokussierung ausnutzt. Typischerweise in dünnen Detektoren, die Teilchen praktisch nicht absorbieren.

Energieverlust im keV-Bereich

- Gasdetektoren: Teilchen ionisiert Gas, Verstärkung des sehr kleinen Signals noch im Gas; Sekundärionisation im hohen E-Feld, Trick: Feldlinien-dichte in der Nähe eines sehr dünnen Rohrs $\phi 25 \mu\text{m}$
Beispiel Vielrohr proportionalkammer $\Delta x = 200-400 \mu\text{m}$
(Hobitpreis G. Charpak 1992) Typ. Energie pro Elektron-Fon-Paar $\approx 30 \text{ eV}$, pro cm Gas 50-100 Elektron-Fon-Paare
Gasverstärkung um 10^3 bis 10^4 , danach elektr. Verstärkung
2d Auslese durch segmentierte Kathodenebene \Rightarrow 4.3

- dünne Halbleiterdetektoren: (100-300 μm), Zusammenbau einer p und n-dotierten Schicht + kleine el. Spannung (100 V) \rightarrow Zone, die frei von beweglichen Ladungsträgern ist. Ionisierendes Teilchen durchquert die Zone \sim Elektron-Loch Paar $\approx 3 \text{ eV}$ pro Paar
Energieverlust 20-50 keV

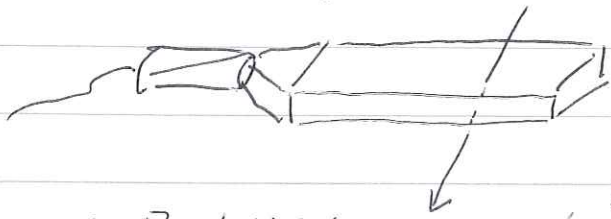
Können durch lithographische Verfahren strukturiert werden mit $< 100 \text{ nm}$ Genauigkeit, Streifen mit 100 μm Breite oder Pixel (50 \times 100 μm). Auflösung $\Delta x \approx 10-20 \mu\text{m}$

\Rightarrow Figs 4.4, 4.5

- Scintillationsdetektoren; Prinzip - ein Teil der durch Ionisation abgegebenen Energie wird in sekundärem Prozess als sichtbares Licht freigesetzt

hier zunächst Plastikszintillatoren; Plastik, z.B. Plexiglas, in dem scintillierende Substanz, aromatische org. Moleküle, aufgelöst ist.

Auslese des Lichts mit Photodetektor an den Enden (z.B. Photomultiplier, u.U. segmentierte Kathode, Photodiode, Si-Photomultiplier)



auch scint. opt. Fasern

Ø 1mm oder dünner

z.B. LHCb upgrade 250µm

Fig. 4.6

4.2. Energiemessung

Absorption eines hadronischen Schauers in einem 'hadronischen' Kalorimeter.

Die geladenen Teilchen des Schauers ionisieren Material (zwischen und nach hadronischen WW, die neue Teilchen produzieren. Ionisation prop. zu gesamt. Spurlänge aller Hadronen \propto zur Energie des den Schauer auslösenden Hadrons
Typischerweise Sandwichstruktur aus passivem Absorber (z.B. Eisen) und Material, das z.B. Scintillationslicht emittiert; wird dann durch transparentes Material (z.B. opt Fasern) nach außen transportiert und detektiert. Zur Licht steckt nur kleiner Teil der Energie des Schauers, aber

Signal ist proportional zur Energie des Hadrons
 Große Fluktuationen, Auflösung $\frac{\delta E}{E} \approx \frac{0.5}{\sqrt{E(\text{GeV})}}$
 $E = 100 \text{ GeV} \approx \delta E / E = 5\%$

diese Art von Kalorimetern heißt "sampling kal."

→ Fig. 4.7

nach demselben Prinzip wird ein elektromagnetischer Schauer (hochenergetisches Photon oder Elektron) in "elektromagnetischem Sampling Kalorimetern" gemessen. Andere Optimierung von Schichtdicken und Absorbermaterial, geringere stat.

Fluktuationen $\approx \delta E / E \approx \frac{0.10}{\sqrt{E(\text{GeV})}} \oplus 0.01$

↑ quadratisch addiert

$E_\gamma = 100 \text{ GeV} \approx \delta E / E \approx 1.4\%$

4.3. Messung von Photonen

- Röntgen- und Gammastrahlen (Übergänge in Kernen) in Halbleiterkristallen (Si, Ge, sehr rein, einige cm^3 bis 100 cm^3) → sehr gute Auflösung

- scintillierende Kristalle (NaI , PbWO_4)

bei niedrigen Energien schlechtere Auflösung, für hohe Energien 100 MeV bis Multi-TeV und ausreichende Länge (15-20%) superbe Messung elektromagnetischer Schauer "Kristall-Kalorimeter" $\delta E / E \approx \frac{0.04}{\sqrt{E(\text{GeV})}} \oplus 0.01$

→ Fig 4.8

also bei 1 GeV $\delta E / E = 4.1\%$

100 GeV 1.1%

Unterscheidung Photon - Elektron: Spur durch Ionisation von Kalorimetern oder nicht?

4.4 Teilchenidentifikation

- Bestimmung der Masse aus Vergleich von Impuls und Geschwindigkeit (Flugzeitmessung) $pc = \beta E = \beta \gamma m_0 c^2$

Impulsbereich limitiert durch Auflösung der Zeitmessung und Flugstrecke

Beispiel: ALICE TOF $\sigma_t = 60 \text{ ps}$ wünsche 3 σ Trennung p und Kaon bei Flugstrecke 3.5 m

Proton $pc = 4 \text{ GeV}$ $\gamma = 4.38$ $\beta = 0.974$ $v = 29.21 \frac{\text{cm}}{\text{ns}}$

$$\text{TOF}_{3.5 \text{ m}} = 11.982 \text{ ns}$$

Kaon $pc = 4 \text{ GeV}$ $\gamma = 8.14$ $\beta = 0.992$ $v = 29.77 \frac{\text{cm}}{\text{ns}}$

$$\text{TOF}_{3.5 \text{ m}} = 11.757 \text{ ns}$$

$$\Delta \text{TOF}_{pk} (4 \text{ GeV}) = 225 \text{ ps} \hat{=} 3.75 \sigma_t$$

Kaon-Pion Trennung geht dabei schon nicht mehr!
Grenze der Methode realistischweise bei einigen GeV/c Impulsen

- Rekonstruktion der invarianten Masse aus Zerfallsprodukten $K^0 \rightarrow \pi^+ \pi^-$ messe Pionimpulse, nehme Pionmasse an (oder identifiziere Pionen)
Produkt aus Pion 4er-Impulsen ist invariant $\equiv (\text{Kaon invariante Masse})^2$

$$P_{\pi^+} P_{\pi^-} = E_{\pi^+} E_{\pi^-} - \vec{p}_{\pi^+} \cdot c \cdot \vec{p}_{\pi^-} \cdot c = (m_{K^0} c^2)^2$$

bei hoher Energie $E_{\pi^\pm} \approx |\vec{p}_{\pi^\pm}| c$

$$\rightarrow E_{\pi^+} E_{\pi^-} (1 - \cos \theta) = (m_{K^0} c^2)^2$$

↑
Öffnungswinkel zwischen den Pionen

- spezifischer Energieverlust
bei Kurventris von pc misst $dE/dx \approx \beta\gamma$

- spezielle Tricks

Myonen: nur Energieverlust durch Ionisation,
keine Schauer

Photonen: kein Energieverlust durch Ionisation,
nur em. Schauer

Elektronen: Energieverlust durch Ionisation,
em. Schauer, spezieller Effekt: Übergangss-
strahlung

Neutronen, Antineutronen: keine Ionisation, nur
hadronisch Schauer

Emission von Cherenkov-Strahlung: wenn
Teilchen sich in Medium schneller bewegt
als Licht, Emission von Photonen (Energiever-
lust unachlässigbar, aber Photonen können
gemessen werden)

Teilchen mit $v = \beta c$ und $pc = \beta\gamma m_0 c^2$ propagiert
durch Medium mit Brechungsindex $n = \frac{c}{c_m}$

reelle Photonen mit Energie, Impuls ω, \vec{k}
werden emittiert, wenn in Winkel ϑ_c

$0 = \vec{v} \cdot \vec{k} = v k \cos \vartheta_c$ und $\frac{\omega}{k} = c_m = \frac{c}{n}$ also

$$\cos \vartheta_c = \frac{1}{n\beta}$$

Photonen reell, wenn $\cos \vartheta_c = \frac{\omega}{k \cdot v} = \frac{1}{n\beta} \leq 1$

$$\text{oder } \beta > \frac{1}{n}$$

Teilchengeschwindigkeit grösser als Lichtgeschwindigkeit
im Medium c_m , Cherenkov 1934

kohärente Wellenpart unter ϑ_c im Bereich um ω
in dem $\epsilon_1 > \frac{1}{\beta^2}$ sichtbar und UV, blau dominiert